



Moscato nero

Raimondi S., Ruffa P., Rolle L., Schneider A., 2014. Moscato nero ITA360-249 (Moscato nero di Acqui). In: Italian Vitis Database, www.vitisdb.it, ISSN 2282-006X

release 14/06/2015, ultimo aggiorn. 16/11/2016 url <http://vitisdb.it/accessions/show/16103>

Informazioni gestite da

Istituto per la Protezione Sostenibile delle Piante - CNR

Ringraziamenti

Ager Foundation, Regione Piemonte, DISAFA - University of Turin

Informazioni generali

| | |
|--|--------------------------------------|
| nome Moscato nero | codice ITA360-249 |
| nazione di selezione Italia | regione di selezione Piemonte |
| provincia di selezione Alessandria | località di selezione Vignale |
| istituzione custode Istituto per la Protezione Sostenibile delle Piante - CNR | |
| collezione Grinzane Cavour | |

Varietà & clone

| | |
|--|---|
| tipo di origine spontanea | genere Vitis |
| specie Vitis vinifera | sub specie sativa |
| varietà Moscato nero di Acqui | codice della varietà IVD-var_143 |
| clone non disponibile | |
| trueness to type accertato con rilievi morfologici e microsatelliti | |

Trueness to type

True-name

confermato **si**

Trueness to type accertato con rilievi morfologici (ampelografici)

accertamento con rilievi morfologici (ampelografici) **accertato**

►bibliografia correlata (1)

| autori | anno | titolo | rivista | citazione |
|---|------|--|---------|----------------------------|
| Mannini F., Mollo A., Santini D., Schneider A., Raimondi S., Ruffa P., Bonifacino G., Marchese E., Paravidino E., Tragni R. | 2012 | I principali vitigni aromatici del Piemonte a bacca colorata | | Regione Piemonte (Torino). |

Trueness to type accertato con microsatelliti

accertamento con microsatelliti **accertato**

►bibliografia correlata (1)

| autori | anno | titolo | rivista | citazione |
|---|------|--|---------|----------------------------|
| Mannini F., Mollo A., Santini D., Schneider A., Raimondi S., Ruffa P., Bonifacino G., Marchese E., Paravidino E., Tragni R. | 2012 | I principali vitigni aromatici del Piemonte a bacca colorata | | Regione Piemonte (Torino). |

loci confrontati **9**

loci identici **9**

discrepanze **n.d.**

Profilo microsatellite standardizzato

| loci: | loci predefiniti (9) | | | | | | | | | | | | | | | | | |
|-------------|------------------------|-----|-------|-----|-------|-----|--------|-----|---------|-----|---------|-----|--------|-----|--------|-----|--------|-----|
| locus SSR: | VVS2 | | VVMD5 | | VVMD7 | | VVMD27 | | VrZAG62 | | VrZAG79 | | VVMD25 | | VVMD28 | | VVMD32 | |
| allele: | A1 | A2 | A1 | A2 | A1 | A2 | A1 | A2 | A1 | A2 | A1 | A2 | A1 | A2 | A1 | A2 | A1 | A2 |
| dimensione: | 133 | 135 | 225 | 235 | 247 | 249 | 179 | 185 | 186 | 196 | 243 | 255 | 250 | 256 | 249 | 261 | 253 | 265 |

Immagini



germoglio



foglia





grappolo



acino

Ampelografia

| OIV | descrizione | valore | | immagini |
|-------|--|--------|---|----------|
| 001 | Giovane germoglio: apertura dell'apice | 5 | completamente aperto | |
| 003 | Giovane germoglio: intensità della pigmentazione antocianica dei peli striscianti dell'apice | 1 / 3 | nulla o molto bassa / bassa | |
| 004 | Giovane germoglio: densità dei peli striscianti dell'apice | 3 / 5 | bassa / media | |
| 006 | Germoglio: portamento (prima della legatura) | 3 | semi-eretto | |
| 007 | Germoglio: colore del lato dorsale degli internodi | 2 | verde e rosso | |
| 008 | Germoglio: colore del lato ventrale degli internodi | 1 | verde | |
| 016 | Germoglio: numero di viticci consecutivi | 1 | 2 o meno | |
| 051 | Foglia giovane: colore della pagina superiore del lembo (4 a foglia) | 1 / 4 | verde / ramato - rosso | |
| 053 | Foglia giovane: densità peli striscianti tra le nervature principali della pagina inferiore (4a foglia) | 1 / 3 | nulla o molto bassa / bassa | |
| 067 | Foglia adulta: forma del lembo | 4 | orbicolare | |
| 068 | Foglia adulta: numero dei lobi | 3 / 4 | cinque / sette | |
| 070 | Foglia adulta: distribuzione pigmentazione antocianica nervature principali pagina superiore | 1 | assente | |
| 072 | Foglia adulta: depressioni del lembo | 1 | assenti o molto deboli | |
| 074 | Foglia adulta: profilo del lembo in sezione trasversale | 2 / 5 | a V / contorto | |
| 075 | Foglia adulta: bollosità della pagina superiore del lembo | 3 | bassa | |
| 076 | Foglia adulta: forma dei denti | 4 / 5 | un lato concavo, un lato convesso / misto tra entrambi i lati rettilinei (livello 2) e entrambi i lati convessi (livello 3) | |
| 079 | Foglia adulta: grado di apertura / sovrapposizione dei bordi del seno peziolare | 7 | sovrapposto | |
| 080 | Foglia adulta: forma della base del seno peziolare | 3 | a V | |
| 081-1 | Foglia adulta: denti del seno peziolare | 1 | assenti | |
| 081-2 | Foglia adulta: base del seno peziolare delimitata dalla nervatura | 1 | non delimitata | |
| 083-2 | Foglia adulta: denti nei seni laterali superiori | 1 | assenti | |
| 084 | Foglia adulta: densità dei peli striscianti tra le nervature principali sulla pagina inferiore del lembo | 1 | nulla o molto bassa | |
| 087 | Foglia adulta: densità dei peli eretti sulle nervature principali della pagina inferiore del lembo | 7 | elevata | |
| 094 | Foglia adulta: profondità dei seni laterali superiori | 5 / 7 | medio / profondo | |
| 151 | Fiore: organi sessuali | 3 | stami completamente sviluppati e gineceo completamente sviluppato | |
| 152 | Infiorescenza: livello d'inserzione della 1 a infiorescenza | 2 | 3° e 4° nodo | |

| | | | | |
|-----|--|-------|--------------------------------------|---|
| 155 | Tralcio: fertilità delle gemme basali (gemme 1-3) | 1 / 5 | molto bassa (<0,5) / media (1,1-1,3) |  |
| 202 | Grappolo: lunghezza (escluso il peduncolo) | 3 / 5 | corto / medio | |
| 204 | Grappolo: compattezza | 3 | spargolo | |
| 206 | Grappolo: lunghezza del peduncolo del grappolo principale | 5 / 7 | medio / lungo | |
| 208 | Grappolo: forma | 1 | cilindrico | |
| 209 | Grappolo: numero di ali del grappolo principale | 1 / 2 | assenti / 1 - 2 ali | |
| 220 | Acino: lunghezza | 5 | medio |  |
| 221 | Acino: larghezza | 5 | medio | |
| 223 | Acino: forma | 2 / 3 | sferoidale / ellissoidale largo | |
| 225 | Acino: colore della buccia | 5 / 6 | rosso scuro violetto / blu nero | |
| 231 | Acino: intensità della pigmentazione antocianica della polpa | 1 | nulla o molto debole | |
| 235 | Acino: consistenza della polpa | 1 | molle | |
| 236 | Acino: particolarità dell'aroma | 2 | aroma moscato | |
| 241 | Acino: sviluppo dei vinaccioli | 3 | completo | |

Ampelometria

OIV

nessun descrittore presente per Moscato nero

Superampelo

| distanze | | |
|---|---------|---------------------|
| descrittore | valore | deviazione standard |
| Distanza dal seno peziolare al seno inferiore sinistro | 38.100 | 8.300 |
| Distanza dal seno peziolare al seno inferiore destro | 42.400 | 9.200 |
| Distanza dal seno peziolare al seno superiore sinistro | 38.700 | 6.100 |
| Distanza dal seno peziolare al seno superiore destro | 38.400 | 6.400 |
| Nervatura N3', lunghezza dal seno peziolare alla nervatura N4' | 9.600 | 1.800 |
| Nervatura N3, lunghezza dal seno peziolare alla nervatura N4 | 10.000 | 2.600 |
| Lunghezza della nervatura N5' | 26.600 | 4.600 |
| Lunghezza della nervatura N5 | 26.100 | 3.400 |
| Lunghezza della nervatura N4' | 45.700 | 4.500 |
| Lunghezza della nervatura N4 | 46.900 | 5.400 |
| Distanza tra punto peziolare ed estremità della nervatura N4' | 53.300 | 5.200 |
| Distanza tra punto peziolare ed estremità della nervatura N4 | 54.700 | 6.100 |
| Lunghezza della foglia | 151.500 | 13.400 |
| Larghezza della foglia | 143.300 | 12.600 |
| Lunghezza della foglia compreso il picciolo | 221.500 | 28.200 |
| Lunghezza del picciolo | 115.100 | 22.600 |
| Lunghezza della nervatura N1 | 106.400 | 8.800 |
| Distanza tra gli estremi delle nervature N2 e N2' | 126.900 | 17.100 |
| Distanza tra gli estremi delle nervature N3 e N3' | 140.700 | 11.100 |
| Distanza tra gli estremi delle nervature N4 e N4' | 70.100 | 12.500 |
| Larghezza del seno peziolare / Distanza tra i punti SP e SP' | -11.800 | 7.200 |
| Lunghezza della nervatura N2 | 93.700 | 8.400 |
| Lunghezza della nervatura N2' | 91.800 | 8.700 |
| Lunghezza della nervatura N3 | 72.500 | 7.900 |
| Lunghezza della nervatura N3' | 69.100 | 5.600 |
| Distanza tra estremità di N2 e estremità della prima ramificazione laterale di N2 | 41.600 | 12.000 |
| Distanza tra estremità di N2' e estremità della prima ramificazione laterale di N2' | 40.400 | 11.800 |

| angoli | | |
|--|---------|---------------------|
| descrittore | valore | deviazione standard |
| Angolo tra N3' e N4' | 58.500 | 5.100 |
| Angolo tra N1 e N2 misurato agli estremi delle nervature | 43.800 | 8.000 |
| Angolo tra N1 e N2' misurato agli estremi delle nervature | 42.700 | 6.500 |
| Angolo tra N2 e N3 misurato agli estremi delle nervature | 49.700 | 6.300 |
| Angolo tra N2' e N3' misurato agli estremi delle nervature | 48.800 | 6.100 |
| Angolo tra N3 e N4 misurato agli estremi delle nervature | 47.200 | 6.300 |
| Angolo tra N3' e N4' misurato agli estremi delle nervature | 45.700 | 5.000 |
| Angolo di apertura del seno peziolare misurato a SP e SP' | 26.300 | 15.800 |
| Angolo tra D e D' con centro in N1 | 101.400 | 6.500 |
| Angolo tra S e S' con centro in N1 | 29.400 | 7.500 |
| Angolo tra I e I' con centro in N1 | 42.900 | 8.400 |
| Angolo tra N1 e N2 misurato alla prima biforcazione | 53.900 | 4.600 |
| Angolo tra N1 e N2' misurato alla prima biforcazione | 51.300 | 4.300 |
| Angolo tra N2 e N3 misurato alla prima biforcazione | 50.300 | 4.200 |
| Angolo tra N2' e N3' misurato alla prima biforcazione | 52.200 | 4.100 |
| Angolo tra N3 e N4 alla prima biforcazione di N3 | 56.600 | 5.800 |

| rapporti | | |
|--|--------|---------------------|
| descrittore | valore | deviazione standard |
| Rapporto tra Lunghezza e larghezza della foglia | 1.060 | 0.030 |
| Rapporto tra la lunghezza del picciolo OP e la lunghezza della nervatura N1 | 1.080 | 0.190 |
| Rapporto tra la distanza dal seno la lunghezza della nervatura N2 | 0.410 | 0.080 |
| Rapporto tra la distanza dal seno peziolare la lunghezza della nervatura N2' | 0.430 | 0.080 |
| Rapporto tra la distanza dal seno peziolare al seno inferiore destro OI e la lunghezza della nervatura N3 | 0.590 | 0.110 |
| Rapporto tra la distanza dal seno peziolare al seno inferiore sinistro OI' e la lunghezza della nervatura N3' | 0.550 | 0.110 |
| Media della base dei denti del lato sinistro | 8.500 | 1.370 |
| Media dell'altezza dei denti del lato sinistro | 8.710 | 1.350 |
| Media della base dei denti del lato destro | 8.090 | 1.250 |
| Media dell'altezza dei denti del lato destro | 8.760 | 1.250 |
| Rapporto tra l'altezza e la base del dente all'estremità della nervatura N4' | 0.700 | 0.130 |
| Rapporto tra l'altezza e la base del dente all'estremità della nervatura N4 | 0.680 | 0.140 |
| Rapporto tra l'altezza e la base del dente all'estremità della nervatura N2' | 0.920 | 0.100 |
| Rapporto tra l'altezza e la base del dente all'estremità della nervatura N2 | 0.840 | 0.120 |
| Rapporto tra l'altezza e la base dei denti del lato sinistro | 1.040 | 0.170 |
| Rapporto tra l'altezza e la base dei denti del lato destro | 1.090 | 0.160 |
| Rapporto tra la somma degli angoli a' + b' e la somma della distanza tra il seno peziolare e il seno superiore sinistro OS' e il seno peziolare e il seno inferiore sinistro OI' | 0.020 | 0.010 |
| Rapporto tra la somma degli angoli a + b e la somma della distanza tra il seno peziolare e il seno superiore destro OS e il seno peziolare e il seno inferiore destro OI | 0.020 | 0.010 |
| Rapporto tra la lunghezza della nervatura N5' e la lunghezza della nervatura N1 | 0.250 | 0.040 |
| Rapporto tra la lunghezza della nervatura N5 e la lunghezza della nervatura N1 | 0.250 | 0.020 |
| Rapporto tra la lunghezza della nervatura N4' e la lunghezza della nervatura N1 | 0.430 | 0.030 |
| Rapporto tra la lunghezza della nervatura N4 e la lunghezza della nervatura N1 | 0.440 | 0.050 |
| Rapporto tra la lunghezza della nervatura N3' e la lunghezza della nervatura N1 | 0.680 | 0.040 |
| Rapporto tra la lunghezza della nervatura N3 e la lunghezza della nervatura N1 | 0.680 | 0.050 |
| Rapporto tra la lunghezza della nervatura N2' e la lunghezza della nervatura N1 | 0.860 | 0.040 |
| Rapporto tra la lunghezza della nervatura N2 e la lunghezza della nervatura N1 | 0.880 | 0.050 |